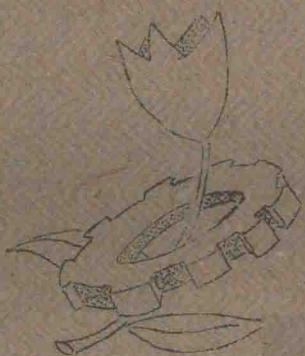


紡織機器按裝與修理工藝學



華東師大工學院
196

年一月



序

“安装与修理”这门课，是1955年度为适应当时形势需要，中纺部委托我院纺织机械制造专业安装与修理专门化学生而编写的一份专业教材。讲课54学时，实验54学时的初稿，后来因为专业行办，所以也没有进行修订过。

这份讲义所牵涉的面还是较广的，特别是一些磨损的实质和理论，与所介绍的耐磨合金及一些修理工艺还是比较新的资料。对机械制造厂同志们，和纺织厂的保全职工们仍有很大的参考价值。

所以我们还是把一部分剩余的讲义装订成册，当然，内容中有什么错误和不妥之处，尚待读者提出批评和共同研究。

华东纺织工学院
纺织机械制造教研组

1962.3

纺织机面磨损

卷

第一章：机面的磨损

磨损的概念	- - - - -	P I
A. 磨化磨损	- - - - -	P 6
B. 热磨损	- - - - -	P 15
B. 磨破磨损	- - - - -	P 22
D. 班点磨损	- - - - -	P 29

第二章：机械零件的磨损形式对磨擦力的关系

A. 磨化磨损时磨擦力的变化	- - - - -	P II-1
B. 热磨损时磨擦力的变化	- - - - -	P II-2
B. 磨破磨损时磨擦力的变化	- - - - -	P II-4

第三章：零件的耐磨损性

A. 磨化磨损时金属之耐磨损性	- - - - -	P III-1
B. 热磨损时金属之耐磨损性	- - - - -	P III-5
B. 磨破磨损时金属之耐磨损性	- - - - -	P III-7
D. 班点磨损时 - - - - -	P III-9

第四章：耐磨损合金

A. 钴基合金	- - - - -	P IV-1
B. 锌基合金	- - - - -	P IV-9
B. 铝基合金	- - - - -	P IV-11
D. 铜基合金	- - - - -	P IV-14
A. 抗磨损铁	- - - - -	P IV-19

第五章：润滑

A. 润滑剂的粘度与油性	- - - - -	P V-1
B. 润滑油系计算	- - - - -	P V-3
B. 润滑材料	- - - - -	P V-14

第六章：材料缺陷之检查

1. X-射线探伤法	- - - - -	P VI-1
2. 磁力探伤法	- - - - -	P VI-9
3. 超声波探伤法	- - - - -	P VI-12

第七章：金属喷镀 - - - - - P VII-1~13

第八章：电镀 - - - - - P VIII-1~8

第九章：冲压加工 - - - - - P IX-1~4

第十章：机件装配的基本知识

- 一、装配之意义及其目的 - - - - - P X-1
- 二、机件之组成 - - - - - P X-1
- 三、装配之方式 - - - - - P X-4
- 四、装配之组织形式 - - - - - P X-5
- 五、装配工艺之作业内容 - - - - - P X-7

第十一章：部件装配

- 一、机架之装配 - - - - - P XI-1
- 二、滚动轴承之装配 - - - - - P XI-20
- 三、传动轮之装配 - - - - - P XI-28
- 四、齿轮之装配 - - - - - P XI-31
- 五、摩擦罗拉装配 - - - - - P XI-38

第十二章：机件安装之基本知识

- 一、机件之安装方式 - - - - - P XII-1
- 二、" " 安装的组织形式 - - - - - P XII-1
- 三、" " 的安装 - - - - - P XII-1
- 四、" " 调正与试车 - - - - - P XII-5

第二章 机器的磨损 磨损故障的概念

關於机四的工作能力通常是以机四的工作性能来判断的。这种工作性能例如对发动机而言是：依据吸为转移的功率变动——即 $N_e = f(n)$ 单位燃料耗量和单位润滑油消耗量，没有敲击和不正常的噪声。对传动机构而言机械效率是基本的性能，關於机械效率的降低在工作中通常是以传动中的噪声增高的现象来判断的。各种工作性能的脱离正常情况的任何偏差都来表明机四中有某种故障的存在。

由於未将机四调整到适应於当前的工作种类，或由於在机四中发生了某些普通调整所不能消除的变动都会引起这些故障的发生。

關於调整及安装机四和农具的问题在叙述这种机四的构造的课程中已经说明，因为在本书中将不再讨论。我们的研究对象只是由於磨损或其他原因在机四中发生而不能用普通的调整消除的故障。

任何机四都由个别组合 (сопркение) 所组成，因此，很显然地，由於机四中的组合的变动，机四也将发生工作性能的变动。

關於组合正常的工作也以组合工作指标来判断，在这种情况下，这指标就是已知的形成组合的联合机件构造性能，也就是配合，因此，就组合而言，故障表现互配合的破坏，也就是在运动的组合中所设的间隙的破坏以及在静止的组合中所设的公盈的破坏，这样，例如发动机功率的下降就可能是活塞组机件间隙增大的结果。

配合的任何破坏都决定於机件的尺寸和形状的改变，由此可以作出结论，所研究的任何一个机四，机件和组合的故障是在机件工作性能中发生了变动的结果。这些变动表现互机件构造尺寸的变动，它们的表面质量的变动，以及材料的改变（化学成份、结构、机械性质）。如实践证明，因机械尺寸的变动而发生的故障具有最大的实际意义，因为在最简单的机四元件上比较容易地注意和研究这些变动对整个机四工作能力的影响，而这些机四元件及是机体副 (Напи Атаев) 的组合，所以研究机四的故障应该以研究个别的典型组合的故障为基础。

自然磨损和事故磨损以及损坏

只有在机四的各个机构建立起这一机四的构造特性所要求的各种工作条件的情况下，才可以由使用的机四得到应有的生产率。这种条件的破坏，(

摩擦表面的滑润，组合中所要求的间隙（负荷及其他一系列的破坏）立刻就影响到整个机件的行动并使机构的磨损加强和损坏，其结果便更因必须以很高的代价用工和修理机件。因此，使用这种机件的技术人员不但应该知道个别机构的结构和工作原理，而且也应该知道设计者所定的基本的重量机件的工作技术条件。由于这些原因，工厂有责任对所生产的机件附以说明书，在这说明书中应该详细地反映出维护这种类型的机件的所有的要求，并着重指出因机件的构造特点而产生的这种维护的特殊性。

仔细遵守这个说明书的指示是正常使用机件的最重要的条件。但是无论怎样仔细地按照维护机件的要求来实行，在机件的结构中和在摩擦的机件中久而久之就将发生磨损。在正确设计的机件中并且在规定的维护机件的情况下，这种磨损的延长的逐渐地、在长久的时间过程中发生。但在维护不良的情况下，磨损的延长可以是很强烈的，并且往往成为事故磨损。引用润滑油层可将引起摩擦表面磨损的摩擦力的作用减到最小，但是，既然摩擦的作用不可能完全消除，所以应该将磨损的逐渐延长看作是不可避免的。在这种情形下我们的任务是遵守对机件工作所要求的条件来防止这种磨损的不正常的发展。

实践中所观察到的机件的磨损和损坏，无论按照它的发生原因或发展的性质，都是非常多式多样的，以致必须地研究每一个遭遇到的损坏，即使是在同一种型号的机件的范围内，都是巨大的，也许异常困难的工作。在这种情况下，科学的管理就采取现象分类法。这种现象分类法允许以现象类型的研究来代替分别地研究每一个现象。这些现象是由它们发生和发展的一般规律的一定共同性所结合的。

为此目的，在任何机件的工作机构中所有遭遇到的磨损和损坏可以分为两种基本类型：

1. 通常渐长的磨损和损坏是在正常的使用条件下——即遵守了对这种机构所要求的一切维护规则——摩擦力的长期作用的后果。高温和其他各种因素作用的后果。因为这些磨损属于机件本身构造所决定的正常现象，所以它们被称为自然磨损。
2. 迅速增长的。有时甚至是机件经过短期工作以后就可看到的磨损和损坏。它们主要是对这种机构维护不当的结果，并且在比较稀少的情形下是生产上的缺陷的后果。这种损坏类型强烈的，猛烈的破坏带有事故的性质。因此，这些磨损和损坏可以被称为事故磨损。

所有见到的损坏的这种分类之所以合理，是因为它帮助解决了防止故

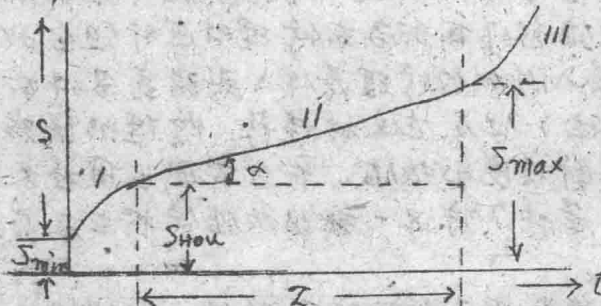
障的基本问题。将所使用的机凹保持在这样的状态下，使它们仅遭受到自然磨损。事故磨损和损坏是不应该发生的。

因为机凹个别机构的自然磨损的延长速度与这种机构的设计上的完善性有关，所以显而易见地，研究这种类型的磨损首先对机凹制造厂有重大的意义。根据机凹在工作过程中的性能的使用资料，工厂就有可能及时地来消除机凹在设计或制造上的某些缺点并因而可以系统地改进自己的机凹。

同样重要地，要使使用这种机凹的工厂知道机凹的自然磨损。机构的自然磨损是随着这些机构的工作时间的增加而一起增长的。但是，这种逐渐的磨损上的磨损增长仅在一定的范围才不致引起在机构工作质量上的改变，并且很明亚地祇是在这个范围的磨损可以称作自然的。正常的磨损，超过了所指出的范围，磨损就会引起机构的工作质量上的改变，并造成使它的工作急剧地恶化的改变，换言之，从自然磨损增长而转变为事故磨损。

防止故障的问题的全部复杂性就在于：及时地掌握住每一个机构达到本身极限磨损的瞬间，并且修理工作未予防止事故磨损。及时地修复已磨损的组合，因而可不需大量的经费来使机凹恢复原有的工作能力。

图工-1表示工作的机件到磨损的延长曲线。图中沿横坐标轴表示机件到的工作时间（以小时计）而沿纵坐标轴表示磨损的程度—在所设情形中为间隙。



图工-1
综合磨损曲线

所表明的曲线对所有良好设计成的，在规定的状况下工作的运动组合是正确的。这曲线具有三个明显地表示的区段，最初是表征新的组合试机过程的曲线区段 I；最后是曲线区段 III—相当于组合因它的磨损超过容许极限（事故磨损）而破坏的时期，以及中间的长度最大的直线区段 II（自然磨损）它相当于组合正常工作时期。在估计组合的修理之间使用期限时，应该除去第一和第三区段，因为试机停止的时刻就应该称为组合正常工作的开始，而

-4-

组合正常工作的修正即达到极限容许磨损。

在这种情形下，任何一种良好设计成的，在稳定情形下工作的组合的修理之间使用期限可以用下列关系来表示：

$$\tau = \frac{s_{max} - s_{shu}}{t_{go}}$$

式中： τ — 组合的修理之间使用期限（以工时计）。

s_{max} — 在磨损的情况下，配合的极限容许磨损程度（极限容许磨损）。

s_{shu} — 在不试材过程的组合最初配合自由的公差值（间隙）。

t_{go} — 在组合的磨损急剧程度的公差值。

因而，根据关系式(1)所设的组合的修理之间使用期限可以用将分子和分母的公差值保持在所需范围内的方法来保证。

以保持一定的分子公差值为目的措施，也就是说，以保持磨损的急剧程度为一定而不超过正常值的措施，应该属于技术使用的范围；而以保持一定的不低于正常的分子值为目的措施，也就是配合的扩大范围，应该属于机口修理的范围。

实际上，如果取配合的扩大范围（分子）为不变的公差值，那末保持曲线中的直缓区段的倾角是保证已知的修理之间使用期限的唯一途径。这里的主要措施是：将机件操作应有的润滑和正确以优质的技术材料的供给，正确地遵守起动和操纵的规则，保证适当的保管等等，也就是说属于技术使用范围的措施。修理实践可以影响并且保证在这种情形下对公母的公差值起作用即当在修理时进行组合的改制（реконструкция）（例如，装入附加的修理零件）或改变零件加工的工艺法（例如，换入耐磨的滚面）但是在这种情形，修理的实践改变了正常（自然）磨损的印设急剧程度的公差值，并且必须采用技术使用范围内的措施来保证在使用条件下将这一新的公差值保持在应有的，但已经是不同的限度内。

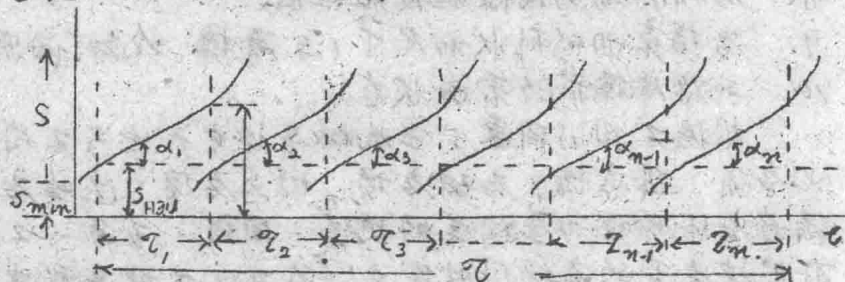
机口修理范围的典型措施是指示保留分子公差值，即指保留最大的极限容许间隙和初间隙之间的差坡，属于这些措施的首先是：修整机件原有的尺寸消除机件几何形状的改变，修复原有的配合等。

因此，可以用技术使用范围和机口修理范围的联合措施的制度来保证组合的全部使用期限。用图1—2所示的曲线系统来表示组合的这种全部使用期限的图介。全部使用期限 $\tau = \tau_1 + \tau_2 + \tau_3 + \dots + \tau_{n-1} + \tau_n$ 由下列措施所保

机凹安装与修理

証。首先，使所规定的组合的技术使用不超过已知值 $\alpha_1, \alpha_2, \alpha_3, \dots, \alpha_{n-1}, \alpha_n$ 而且这种技术使用可以保持组合磨损程度的水准。以及其次，在每两个修理之间使用期限 T_i 以后，用允许的、规定的修理来修复已宽松的配合也就是将 S_{max} 减到 S_{min} 。

图 I - 2



所作的全部敘述表示不仅机凹制造工厂，就是使用这种机凹的工厂，对他们来讲，知道机凹机件自身磨损的性质是多么的重要。但是，从上面所述的还不能作出这样的结论，即事故性质的磨损和损坏可以不故意地除去，为要可以确定发生损坏的实际原因。工厂应该仔细地研究在机凹中所看到的每一个事故和每一个不正常的磨损，因为这样就不可能采取彻底的措施来防止将来发生类似的现象。

如果自身磨损基本上表征机凹本身的构造，因而，与使用这种机凹的工厂无关，那末在事故磨损方面就应该优先与此相反的。而后者差不多只与工厂有关，因而，可以当作这种指标，用它来表示这工厂对属于他们的所管辖的机凹的使用技术掌握到什么程度。

因此，如果看到在机凹中的事故性质的磨损和损坏愈多，那末这个工厂中对维护机凹的工作也就做了愈坏，并且这种情形也可能是相反的。我们的任务是要将事故磨损和损坏在实际上减低到零，而这一问题的解决基本上决定于使用机凹的工厂。

磨损现象的本质和磨损类型

磨损的因素非常复杂，磨损量主要决定于外来因素：

1. 磨损种类和特性；
2. 磨损表面间的比压和载荷特性；
3. 磨损表面相对运动速度和速度变化；
4. 润滑油的导入方法，吸量和质量（粘度，附着性以及在不同温度和压力下这些性质的变动）。

- 6-
 5. 温度条件；
 6. 腐蚀作用和形成的表面层的性质；
 7. 有无磨削物屑，其性质和大小；
 8. 磨损产物的清除程度和性质；
 9. 磨损表面的形状和尺寸（与摩擦、冷却、润滑剂等入条件等有关）；
 10. 开始摩擦前的表面状态。

根据不同的因素，在机械零件中产生了不同的磨损类型（氧化磨损，热磨损，腐蚀磨损，斑点磨损）这些磨损类型一般都遵循着固体物理和金相学的规律。同时，在每一工作零件上很可能有几种类型的磨损同时发生，而在这几种类型中有一种是主要的磨损类型，而其余的类型则是附加的、次要的。主要的磨损形式是零件损坏的决定因素，它限制了零件的使用期限。

零件的磨损之所以会同时产生主要与附加磨损，是因为在摩擦表面的各部分的摩擦条件不一定完全相同。由于条件的不同，所产生的磨损也因些而有所不同。

举至普通的齿轮的磨损为例来说以上述的情况。在主动齿轮齿廓表面上的磨损并不均匀的，可以分为三个部位来研究：在齿尖部分的区域内（从齿根伸展到节圆附近），由于滚动摩擦而产生了热磨损。在节圆附近的区域内，由于主要是滚动摩擦而产生了斑点磨损。在齿头部分区域内（从节圆附近伸展到齿顶），由于滑动摩擦而产生了氧化磨损。

检查磨损的强烈程度，以节圆区域为最大。这样，在上述的例子中决定齿轮磨损的主要形式是斑点磨损，而热磨损和氧化磨损则是附加的磨损形式。

虽然在工作零件上常会产生几种磨损形式，而使磨损性质复杂化，但在实际上，我们区分清楚主要的和附加的磨损以后，试需单独研究主要磨损对于零件的关系。附加磨损不对零件的损坏起决定的作用，因此为不须改变如上面的例子，决定齿轮磨损的形式是斑点磨损，我们可以根据斑点磨损的特性来改善和防止齿轮的损坏。

现在让我们进一步研究各种磨损类型的特征。

A. 氧化磨损

氧化磨损的特征：当摩擦时，摩擦表面与空气中氧相接触，产生一个对摩擦表面金属的扩散作用。

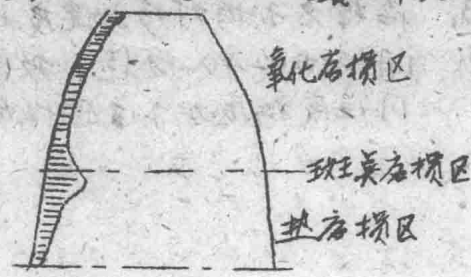


图 1-3

(主动齿轮工作齿廓表面磨损图)

立表面及轴颈两个在金属中的固溶体以及单和金属的化合物。次外铁制零件当加热氧化时将被氧化成氧化铁或铁的固溶体以及碳化物和碳化物。由于这样固溶体和化合物的生成会使摩擦表面的摩擦性能有很大的改变。

首先研究证明了同时进行研磨过程磨损表面的显微塑性变形和贵金属塑性变形部分的氯的扩散。这两个过程有密切的关连即塑性变形促使氯在金属中的扩散。同时因为氯的扩散又能使金属的塑性变形水不易增加。

首先试验对发动机曲轴颈的油箱

试验研究磨损的研究结果来证明

氧化磨损的现象。

半曲轴浸油45度偏斜角度并经

低温回火处理。金属的组织是

肥粒体球光体的碳化物连

曲轴轴颈总厚度为

35分厚的石油巴氏合金轴承

中曲轴主轴颈的轴颈

中工作的轴颈其厚度相

般不超过0.005毫米

后轴的正常磨损的条件是速

度1050转/分轴颈上的比压为圆

60公斤/厘米²试验部分在某些处约

为轴颈直径的磨损量是圆周后轴颈内面相距圆心的平面

的高程较轴颈的轴颈为大是磨损量3.5毫米圆柱形的量微压

相距圆柱形的磨损量部分在各处的微压，量升0.05毫米磨损量相

相距圆柱形的量微压相至表示量测硬度的压痕，剃刮时荷重如克之数

是曲轴轴颈的表面反立体薄处的量微压但(4级精度)的轴颈反表而

金属层在区别于表面及金属的量微压相距圆柱形的量微压金

硬度相同时可产生轴颈的磨损量产生磨损的量及因温

在表面形成温度极薄处的流动及温度极薄及温度随温度常周期地

生成和消除小而细的磨损颗粒及一些硬质点就立固

不能造成基质而磨损现象来。这部分产生磨损的另一原因之一是

由于周围空气中含有硬质点，进入摩擦表面间，以及邻近的轴

颈其他表面部分所形成的磨损产物。这些硬质点介在摩擦之间

造成了磨损。

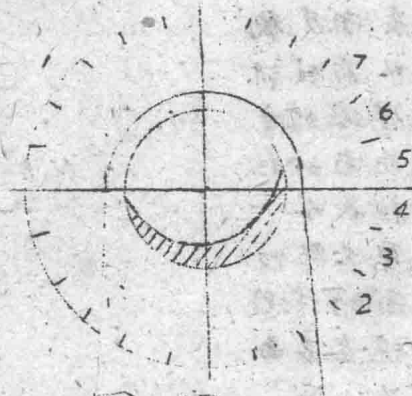


图 I-4

XT3发动机曲轴颈表面磨损圆

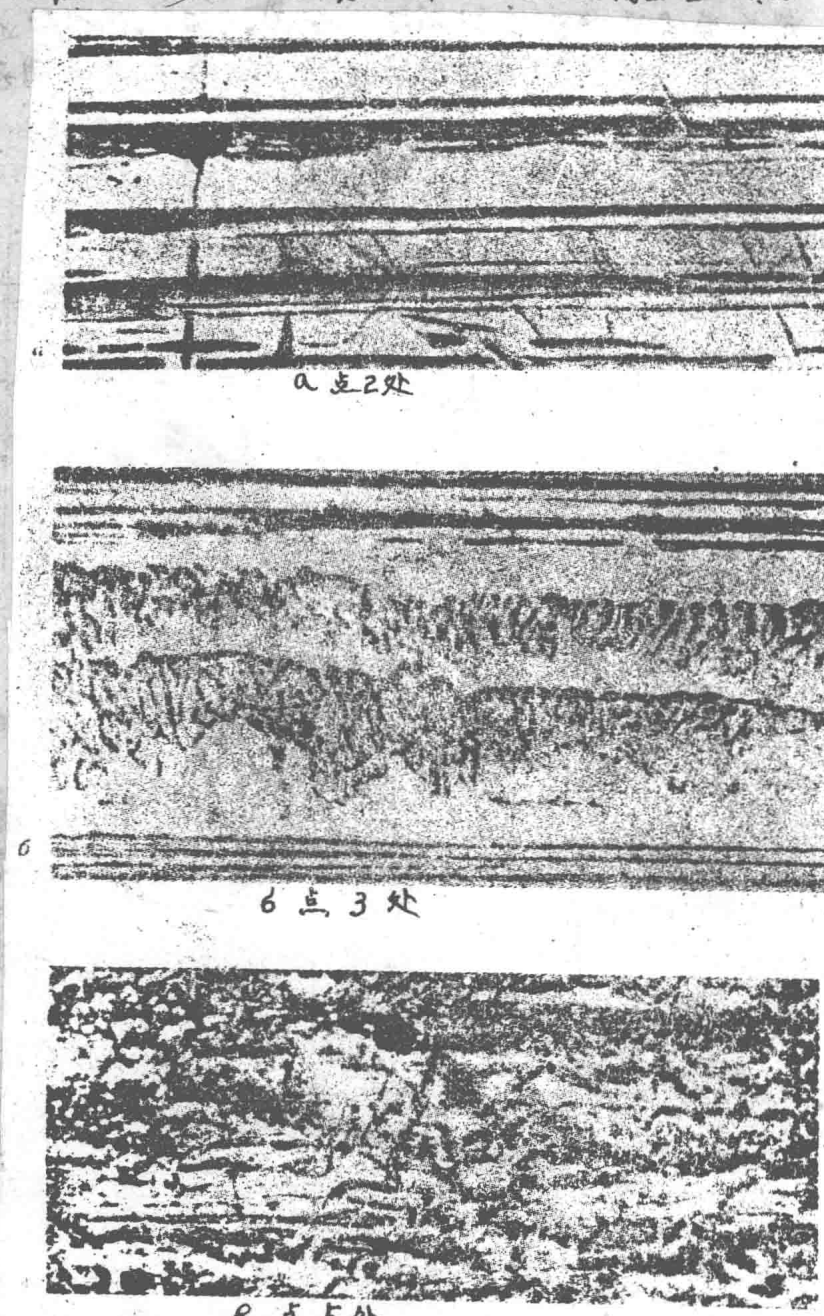
曲轴颈磨损量是圆周后轴颈内面相距圆心的平面的高程较轴颈的轴颈为大是磨损量3.5毫米圆柱形的量微压相距圆柱形的磨损量部分在各处的微压，量升0.05毫米磨损量相至表示量测硬度的压痕，剃刮时荷重如克之数是曲轴轴颈的表面反立体薄处的量微压但(4级精度)的轴颈反表而金属层在区别于表面及金属的量微压相距圆柱形的量微压金硬度相同时可产生轴颈的磨损量产生磨损的量及因温在表面形成温度极薄处的流动及温度极薄及温度随温度常周期地生成和消除小而细的磨损颗粒及一些硬质点就立固不能造成基质而磨损现象来。这部分产生磨损的另一原因之一是由于周围空气中含有硬质点，进入摩擦表面间，以及邻近的轴颈其他表面部分所形成的磨损产物。这些硬质点介在摩擦之间造成了磨损。

在曲轴之颈表面点2处(图I-65)的工作载荷较大，因此在表面产生了相当深的新组织层，这层的深度达0.02公厘。这新组织不容易用酸腐蚀，其硬度等于HRC 650。若与尾金属相比较，除^①硬度方面有很大的增加外(尾金属的硬度为HRC 240)同时在新组织层中^②发生很大的流动，这流动在观察图I-65的截面显微照相时可以很明显的看出，而在图I-66中更为清楚。

在表面及截面中可以看到新组织在摩擦的方向上使原有的柱状晶带拉长了。

观察过部份摩擦表面的情况可以发现，在表面上生成了一层^③，这一点证明了摩擦时表面有很大的塑性和流动性。这部份的摩擦主要是因为流动层经常生成和去除。

在点3处，
(图I-65)曲轴的表面部



图I-5 曲轴轴颈摩擦表面显微照相

图I-5. 活动机X-13曲轴轴颈摩擦表面显微照相
a—点2部份, b—点3部份, c—点5部份 $\times 400$

今度到拔处截荷的磨擦拉深武江因断组织的深度也增加到 0.035
该层与轴颈内部及金属层的硬度应保持不变。? 导航 HRC 245。
在某处 (图 I-6c) 由于流动组织的生长产生了粗大的球形
碳的上层即遭受严重的腐蚀。这很明显的作用的边沿相的硬度
比原来的硬度为大。导航 HRC 245 为新生或的相和损坏的流动
碳中等，有很明显的分界，没有任何均匀的过渡部分。这新相具有
极高的脆性，在其截面上和表面上有很多明显的裂缝 (图 I-6e)

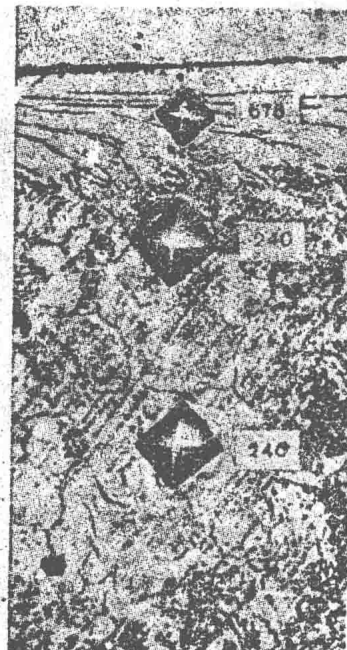


圖 I-6 a, b, c, 曲軸軸頸磨損表面及截面顯微鏡相。

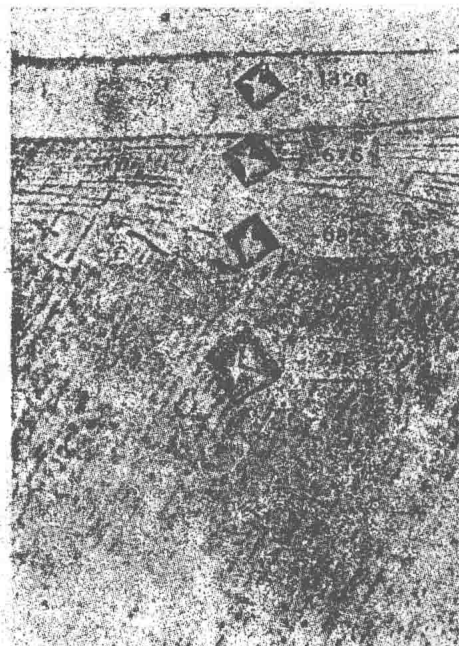
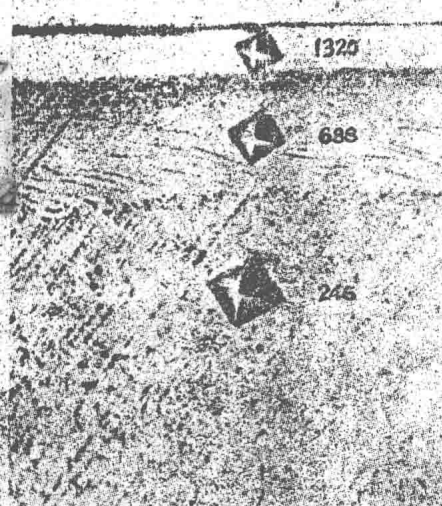


圖 I-6 d 曲軸軸頸磨損表面及截面顯微鏡相



在桌5处(图I-6a)表示了较发达的脆性相，其深度达0.015公厘。纯金属和流动层的硬度在新脆性相形成时保持不变。

当脆性相的厚度增加时，其中的裂纹数量也随之增加。裂纹常有方向性从流动层和脆性相的边界处开始产生，然后渐生发展而使白色脆性相部份碎裂。脆性相沿最大裂纹处碎裂的情况见图I-6b。

在桌4与5两处的磨损是由于脆性相的碎裂而产生的。这种碎裂的磨损产物散落至摩擦表面之间，成为磨耗物质。因此也影响了轴颈表面其余部分的磨损。

曲轴轴颈磨损各部分的表面及组织的硬度见图I-7。

氧化磨损不仅发生在曲轴之颈上，同时也发生在很多轴承的轴颈、汽缸套、齿轮和其他易件上。

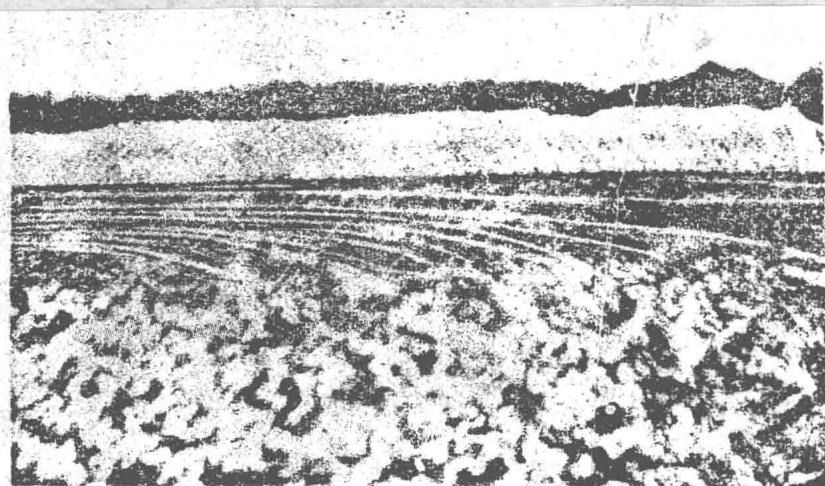
现在我们对氧化磨损的现象进行理论分析。

为了了解表面及的氧化磨损，我们先讨论到铁的氧化。

氧可以和铁形成固溶体，也能形成化合物。铁的氧化物有下列三种：

- (1) FeO 含22.27% O₂；
- (2) Fe_3O_4 含27.64% O₂；
- (3) Fe_2O_3 含30.06% O₂。

三种氧化铁，仅低价 FeO 能溶于铁中。 Fe_3O_4 和 Fe_2O_3 在常温下是不溶的，并且在常温下不能溶解于铁中。对于低速旋转的轴颈没有明显的刮伤。

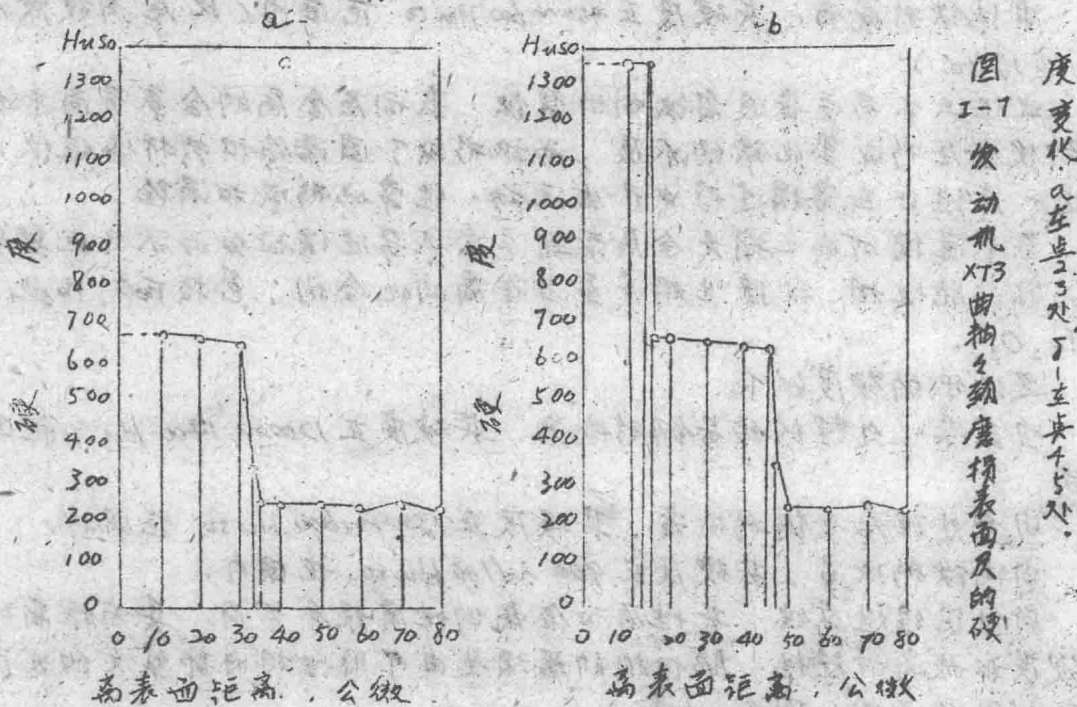


图I-6 曲轴轴颈磨损表面显微照相。

图2 b大发动机XT3曲轴轴颈磨损表面显微照相 $\times 700$

实际上不溶杂质并不算 FeO 不同对杂质的性质没有明显的影响。能证实这一点，因为杂质在钢中溶解度是很低的，在化学时钢中溶解度只有 0.5% 的氧化亚铁当温度 1000 度时约为 0.2%，含氯盐的脱氧剂在以前和钢中的固溶体。而钢的氧化亚铁在脱氧后，脱氧的氧化物并开始生成后氧化物在脱氧时也应该是很小的 FeO ，然后脱氧后而再转化为脱氧物。

当根据许多实验数据表明杂质相在温度 570 度时是稳定的。当温度过高时将增加含氯量，并且含有杂质，但通过分解过程进行得很慢。若在高温时使杂质溶解，则杂质在常温时固溶于钢中， O_2 和 Fe_3O_4 在所有温度中都是稳定的从室温起到熔化为止。



大部分的 FeO 和 Fe_3O_4 位于表面及近边缘的金属中，在氧化层的附近这样，在这一地带形成了共析体，它是微粒 FeO 和 Fe_3O_4 与氧化亚铁中的固溶体的混合物。

当金属摩擦表面产生塑性变形时，氧化亚铁中的扩散速度急剧地增加，这是因为塑性变形时晶格的扭曲，产生了很多滑移面，而氧化亚铁主要是沿着滑移平面。

氧化亚铁的扩散入金属内同时也增加了它的塑性变形，这是因为滑移往²是在反离子分布较多的平面上产生，而氧化亚铁的扩散到金属中又增加了这一方面的作用，可以看作氧化亚铁的运动反离子在滑移面上有如内部润滑油剂，而增加了塑性变形。

因为摩擦时氧化扩散作用密切与金属的塑性变形相连接，则氧化扩散深度应相当于塑性变形分布的深度。

由于氧化扩散主要是沿着滑移面进行的，因此氧化铁中的分布不是均匀的。在氧化磨损初期所产生的组织是不均匀的氧化金属中的固溶体和高度扩散的金属氧化物和固溶体的共析体。第一期氧化磨损中所产生的初期组织的硬度是：

由正常化45号钢形成者，其硬度在500~700 H_{RS} 范围内（压金属球珠光体硬度230 H_{RS}，肥粒体130 H_{RS}）。

由18%HBA渗碳钢形成者，其硬度在700~900 H_{RS} 范围内（压金属硬度为700 H_{RS}）。

由纯铁形成者，其硬度在450~600 H_{RS} 范围内（压金属硬度为120 H_{RS}）。

这组织不易受普通腐蚀剂的腐蚀，表面层金属的含氧化尚未达到使金属形成氧化铁的浓度，而形成了固溶体和共析体组织。这一层组织在磨损过程中产生流动，经常地形成和消除。

氧化磨损的第二期是金属表面灰含氧化继续增加而促进地转变为新的脆性相，这脆性相是氧化金属的化合物，包括 Fe_3O_4 , Fe_2O_3 。

这组织的硬度如下：

由正常化处理的45号钢形成者，其硬度在1200~1400 H_{RS} 范围内，

由热处理合金钢形成者，其硬度在1300~1600 H_{RS} 范围内。

由纯铁形成者，其硬度在900~1100 H_{RS} 范围内。

新组织很难腐蚀，其性质和金属的性质根本不同，具有很高的硬度和极高的脆性。脆性相的磨损量由于脆性相内部裂纹的发展而破裂所造成（图I-be x）。

为了充分了解流动层（固溶体层）和脆性层（化合物层）的性质可以根据下列实验来讨论。

将摩擦时产生的新组织在温度100, 200, 300, 400, 500°C回火，每次加热保持半小时。加热后试样在空气中冷却。

试验的结果见表1和图I-8的金相照片。

表 1 曲轴颈表面层在 $100 \sim 500^{\circ}\text{C}$ 回火后的显微组织变化

研 究 层	回火前 硬度	回火后硬度				
		100°	200°	300°	400°	500°
白色脆性层(化合物)	1320	1320	1332	966	742	632
白色流动层(固溶体)	640	670	696	448	218	210
原金属组织	230	236	242	238	246	240

註：显微硬度测定时的载荷为50克。

曲轴颈表面层的金相分析如下：

尾金属的肥粒体—珠光体组织在所有回火后均不变。第一期氧化磨损所产生的组织，在回火至 300°C 时开始容易腐蚀，其硬度降低。在 500°C 回火后，这组织反而较尾金属容易腐蚀些。在 500°C 回火后，其硬度低於尾金属的硬度。从显微照相中可以看出，回火后之组织含有小粒的珠光体和肥粒体的混合物，并盖有细小暗色的夹杂物。

白色脆性相在回火后，其硬度同样降低，回火的结果，它相腐蚀时改变了颜色，由原来的白色开始变为带有淡兰色，然后在回火温度增加时变到浅灰色。脆性相沿其前面的金属层间的分界，在回火后仍保持原来的脆折性。

氧和 Fe_3O_4 在铁中的不均匀固溶体当加热时 ($100 \sim 500^{\circ}\text{C}$) 产生了整理过程，分散的氧化物结合起来并形成较大的高价氧化物颗粒。由於这样的整理和结合过程，使金属产生了很大的物理性能的改变。

在第一期磨损时所形成的组织在 500°C 回火后所表示的硬度较尾金属为低，这是因为慢冷钢中氧含量的增加使硬度降低。下列表 2 中關於软质平焰钢不同含氧量对硬度的影响和上述的情况相符合。